

Расчет многоканальных СМО с отрицательными заявками

Р. С. Хабаров, к.т.н.
В. А. Лохвицкий, д.т.н.

Аннотация

Предложен численный метод расчёта многоканальных систем массового обслуживания с произвольным распределением времени обслуживания (аппроксимируемым гиперэкспоненциальным H_2 с комплексными параметрами) и двумя дисциплинами обработки отрицательных заявок: **RCS** (удаление заявки на обслуживании) и **катастрофы** (мгновенная очистка системы). Метод расширяет алгоритм Такахаси–Таками модификацией матриц переходов микросостояний и позволяет получать не только стационарные вероятности состояний, но и временные характеристики — начальные моменты времени ожидания и пребывания. Получены результаты для двух вариантов поведения положительных заявок при поступлении отрицательной: при уходе из системы и при направлении на повторное обслуживание.

Ключевые слова: теория массового обслуживания, отрицательные заявки, катастрофы, RCS, метод Такахаси–Таками, фазовые аппроксимации, H_2 , ПЛС (преобразование Лапласа–Стилтьеса).

ВВЕДЕНИЕ

Метод Такахаси–Таками [1] изначально предложен для общего класса систем $GI/G/c$; в монографии Рыжикова [2] подробно изложены многоканальные фазовые системы и итерационное решение векторно-матричных уравнений баланса с блоками A_j, B_j, C_j, D_j . Метод применим к достаточно широкому классу систем (в т. ч. $M/H_k/n, H_k/M/n$ и др.); в данной работе рассматриваются системы с *пуассоновским входом* интенсивности λ и *распределением времени обслуживания* B , аппроксимируемым гиперэкспоненциальным H_2 с комплексными параметрами, позволяющими описывать системы с произвольным коэффициентом вариации при n каналах. Предположения о пуассоновском потоке заявок и произвольном обслуживании являются достаточно общими для многих реальных систем.

В последние десятилетия значительный интерес вызывает исследование систем с отрицательными заявками (*negative customers*), введёнными в работах Геленбе [3, 4]. Отрицательные заявки при поступлении могут удалять положительные заявки согласно различным дисциплинам. В работе рассматриваются две дисциплины обслуживания: **RCS** (*Remove Customer in Service*) — воздействие на одну заявку в обслуживании (удаление); **катастрофы** — мгновенная очистка системы от всех положительных заявок. Далее через δ обозначается интенсивность потока отрицательных событий, W и V — времена ожидания в очереди и пребывания в системе (случайные величины), w_1 и v_1 — их первые начальные моменты (математические ожидания).

Исследования СМО с отрицательными заявками обычно связывают с работами Э. Геленбе (G-сети с «сигналами»); ключевой результат — существование стационарных распределений в product-form при марковских предпосылках и ограничениях на механизмы удаления [3, 4]. G-сети обобщались на случаи зависящих от состояния интенсивностей, пакетных перемещений и многоклассовых заявок, сохраняя product-form стационарных распределений при экспоненциальных предпосылках. Обзор подходов к сигналам и стратегиям удаления приведён в [5]. Для одноканальных систем $M/G/1$ сформировалась аналитическая ветка (дополнительная переменная, интегральные уравнения), позволяющая описывать стационарные распределения и временные характеристики [6]; развивались также факторизация Винера–Хопфа [7] и интерпретации удаления работы [8]. Отдельная линия

— *катастрофы*: для $M/G/1$ получены аналоги формулы Поллачека–Хинчина для стационарного распределения числа заявок в системе и времени пребывания, подчёркивающие роль преобразования Лапласа–Стилтьеса (ПЛС), $T^*(s) = \mathbb{E}[e^{-sT}]$, $s \geq 0$, и корректной трактовки «обрезания» траектории катастрофой [9]. Модели с катастрофами обобщались на ВМАР/SM/1 [10], дисциплину с разделением процессора [11], дискретное время [12], повторные попытки и отказы прибора [13, 14]. Для многоканальных моделей встречаются марковские частные случаи [15]; интерес к системам с отрицательными заявками и катастрофами сохраняется в последние годы (дискретное время, параллельные очереди, гетерогенные приборы), однако расчёт при произвольном обслуживании в многоканальном случае остаётся нетривиальным.

В данной работе предложено расширение метода Такахаси–Таками для многоканальных СМО с отрицательными заявками: вводятся правила формирования матриц переходов для дисциплин RCS и катастроф, а также алгоритмы вычисления первых начальных моментов времени ожидания и пребывания w_1 и v_1 , согласованные с имитационным моделированием. В результате метод позволяет получать стационарные вероятности состояний и временные характеристики в рамках единого алгоритма; обслуживание аппроксимируется H_2 при любом коэффициенте вариации, при необходимости с комплексными параметрами.

Рассматриваемая модель: пуассоновские потоки положительных (λ) и отрицательных (δ) заявок, время обслуживания B аппроксимируется H_2 с заданным средним и коэффициентом вариации, число каналов $n \geq 1$. Коэффициент загрузки $\rho = n^{-1}\lambda \mathbb{E}[B]$ предполагается меньше 1. Пространство состояний усекается по уровню $i \leq N - 1$ (N — максимальный уровень); сходимость итераций контролируется по изменению $x[i]$ или $t[i]$ с заданным допуском.

МЕТОД ТАКАХАСИ–ТАКАМИ: БАЗОВЫЕ ПРИНЦИПЫ

2.1 Структура микросостояний

Метод основан на представлении системы $M/H_2/n$ в виде марковского процесса с дискретным пространством состояний. Состояние описывается:

- i — число заявок в системе (уровень, level);
- j — число заявок, находящихся в фазе 2 H_2 -аппроксимации (с интенсивностью μ_2 ; микросостояние, microstate).

Для уровня $i < n$ число микросостояний равно $i + 1$, для $i \geq n$ постоянно и равно $n + 1$.

2.2 Матрицы переходов

Процесс описывается четырьмя типами матриц переходов между микросостояниями соседних уровней: A (поступление), B (уход вниз), C (горизонтальные переходы), D (диагональная матрица интенсивностей выхода).

Пусть $y_1 + y_2 = 1$, где y_1 и y_2 — вероятности выбора фаз 1 и 2 в H_2 -аппроксимации, а μ_1, μ_2 — интенсивности экспоненциального обслуживания в фазах. На уровне $i < n$ все заявки находятся в обслуживании, а на уровне $i \geq n$ в обслуживании ровно n заявок, остальные ждут в очереди.

Матрица A (поступление положительных заявок)

Для $i < n$ при приходе новая заявка немедленно занимает свободный канал и выбирает фазу:

$$(i, j) \rightarrow (i + 1, j) \text{ с интенсивностью } \lambda y_1, \quad (i, j) \rightarrow (i + 1, j + 1) \text{ с интенсивностью } \lambda y_2.$$

Для $i \geq n$ пришедшая заявка становится в очередь, и микросостояние j (число заявок в фазе 2 среди обслуживаемых) не меняется:

$$(i, j) \rightarrow (i + 1, j) \text{ с интенсивностью } \lambda.$$

Матрица B (уход на уровень вниз)

Для $i \leq n$ уход вниз обусловлен завершением обслуживания одной из i заявок:

$$(i, j) \rightarrow (i - 1, j) \text{ с интенсивностью } (i - j)\mu_1, \quad (i, j) \rightarrow (i - 1, j - 1) \text{ с интенсивностью } j\mu_2.$$

Для $i > n$ уход вниз сопровождается тем, что освободившийся канал немедленно занимает заявка из очереди, выбирая фазу $1/2$ с вероятностями y_1/y_2 . Поэтому для $j \in \{0, 1, \dots, n\}$:

$$\begin{aligned} (i, j) &\rightarrow (i - 1, j) \text{ с интенсивностью } (n - j)\mu_1y_1 + j\mu_2y_2, \\ (i, j) &\rightarrow (i - 1, j + 1) \text{ с интенсивностью } (n - j)\mu_1y_2, \quad (j < n), \\ (i, j) &\rightarrow (i - 1, j - 1) \text{ с интенсивностью } j\mu_2y_1, \quad (j > 0). \end{aligned}$$

Матрица D (интенсивности выхода)

Диагональные элементы задаются суммарной интенсивностью выхода из микросостояния. Для $i < n$:

$$D(i, j) = \lambda + (i - j)\mu_1 + j\mu_2,$$

а для $i \geq n$:

$$D(i, j) = \lambda + (n - j)\mu_1 + j\mu_2.$$

Примеры для $n = 3$, уровень $i = 2$: матрица A_1 (переход $1 \rightarrow 2$) — строка $A_1 = (\lambda y_1 \quad \lambda y_2 \quad 0)$; матрица B_2 (переход $2 \rightarrow 1$) — блок 3×2 :

$$B_2 = \begin{pmatrix} 2\mu_1 & 0 \\ \mu_2 & \mu_1 \\ 0 & 2\mu_2 \end{pmatrix};$$

матрица D_2 (диагональ выхода):

$$D_2 = \begin{pmatrix} \lambda + 2\mu_1 & 0 & 0 \\ 0 & \lambda + \mu_1 + \mu_2 & 0 \\ 0 & 0 & \lambda + 2\mu_2 \end{pmatrix}.$$

2.3 Итерационный алгоритм

Алгоритм Такахаси–Таками основан на итерационном вычислении вспомогательных величин для уровней $i = 0, 1, \dots, N - 1$ и последующем восстановлении вероятностей уровней $p[i]$. В типичной реализации используются:

- вспомогательные матрицы $G_i = (D_i - C_i)^{-1}$, а также произведения $A_{i-1}G_i$ и $B_{i+1}G_i$;
- итерации по уровням для обновления векторов $t[i]$ и скаляров $x[i], z[i]$ до сходимости;
- восстановление вероятностей уровней по рекуррентной формуле $p[i] = p[i-1]x[i-1]$ при нормировке.

Построение матриц: для каждого уровня i по микросостоянию j заполняются блоки: (1) A — переходы вверх по правилам для $i < n$ и $i \geq n$; (2) B — переходы вниз из завершений обслуживания и выбора фазы при $i > n$; (3) C — горизонтальные переходы; (4) диагональ D так, чтобы сумма по строкам в $A + B + C - D$ равнялась нулю. Размеры блоков определяются числом микросостояний на соседних уровнях.

Выбор N , сходимость, сложность: N выбирают так, чтобы $p[N-1]x[N-1] < \varepsilon$. Итерации прекращают при $\max_i |x[i]^{\text{new}} - x[i]^{\text{old}}| < \varepsilon$. Время одного шага итерации — $O(N(n+1)^3)$, память — $O(N(n+1)^2)$.

2.4 Временные характеристики в базовой модели

Для базовой системы без отрицательных заявок моменты ожидания $w^{(k)}$ могут вычисляться по вероятностям уровней:

$$w^{(k)} = \frac{1}{\lambda^{k+1}} \sum_{j=k+1}^{N-n} j(j-1) \cdots (j-k) p[n+j].$$

Моменты пребывания при отсутствии отрицательных заявок получаются стандартной свёрткой моментов ожидания и обслуживания. Для систем с отрицательными воздействиями моменты вычисляются либо по вероятностям уровней (в редуцированных аппроксимациях к $M/G/n$), либо восстанавливаются из ПЛС численным дифференцированием: $(-1)^k T^{*(k)}(0)$ аппроксимируется конечными разностями по s в окрестности нуля (шаг $h \sim 10^{-5}$ – 10^{-4}); устойчиво ограничены первые 2–4 момента.

РАСШИРЕНИЕ МЕТОДА ДЛЯ СИСТЕМ С ОТРИЦАТЕЛЬНЫМИ ЗАЯВКАМИ

3.1 Общая идея

Расширение основано на модификации матриц переходов базового метода без изменения общей структуры итерационного процесса. В зависимости от дисциплины отрицательного воздействия переопределяются правила построения матриц B и D , а для катастроф — также структура микросостояний.

3.2 Дисциплина RCS (Remove Customer in Service)

При дисциплине RCS отрицательная заявка воздействует на одну заявку в обслуживании, выбирая занятый канал равновероятно. На уровнях $i \leq n$ (очереди нет) отрицательные события добавляют к уходам вниз интенсивности

$$(i, j) \rightarrow (i-1, j) \text{ с интенсивностью } \delta \frac{i-j}{i}, \quad (i, j) \rightarrow (i-1, j-1) \text{ с интенсивностью } \delta \frac{j}{i},$$

то есть эквивалентны дополнительной «опасности удаления» δ/i для каждой обслуживаемой заявки. Диагональные элементы дополняются интенсивностью отрицательных приходов:

$$D_{\text{RCS}}(i, j) = D_{\text{base}}(i, j) + \delta.$$

На уровнях $i > n$ отрицательное событие также удаляет одну заявку из обслуживания, после чего канал немедленно занимает заявка из очереди и выбирает фазу. Для практического построения матрицы B удобно использовать приближение $\mu'_1 = \mu_1 + \delta/n$, $\mu'_2 = \mu_2 + \delta/n$ (дополнительная опасность удаления δ/n для каждого канала) и формулы базового случая для $i > n$, подставляя μ'_1, μ'_2 вместо μ_1, μ_2 .

3.3 Дисциплина катастроф

При базовой дисциплине обслуживания катастрофа очищает систему (удаляет все положительные заявки). Для согласования с матричной структурой метода вводится искусственное микросостояние D («состояние катастрофы») на каждом уровне $i > 0$. При поступлении отрицательной заявки система переходит в состояние D , а затем с большой искусственной интенсивностью $\gamma \gg \mu_1, \mu_2, \lambda$ — в нулевой уровень, что моделирует мгновенную очистку.

Структура микросостояний модифицируется так:

- уровень 0: одно состояние $(0, 0)$;

- уровни $1 \leq i < n + 1$: $1 + (i + 1)$ микросостояний (первое — D , затем $(i, 0), \dots, (i, i)$);
- уровни $i \geq n + 1$: $1 + (n + 1)$ микросостояний (первое — D , затем $(i, 0), \dots, (i, n)$).

Поступление положительных заявок (A) «пропускает» состояние D . Для уровня 0:

$$(0, 0) \rightarrow (1, 0) \text{ с интенсивностью } \lambda y_1, \quad (0, 0) \rightarrow (1, 1) \text{ с интенсивностью } \lambda y_2.$$

Для уровня $i > 0$ положительный приход переводит (i, j) в соответствующее обычное состояние уровня $i + 1$, сохраняя описанную выше структуру (без попадания в D).

Переход в катастрофическое состояние происходит из любого обычного микросостояния уровня $i > 0$ с интенсивностью δ . Состояние D имеет уход в $(0, 0)$ с интенсивностью γ , поэтому диагональный элемент для этого состояния (суммарная интенсивность выхода) равен γ . Для уровня $i = 1$ при $n = 3$ микросостояния суть $D, (1, 0), (1, 1)$; матрица B_1 имеет размер 3×1 (переход в уровень 0).

3.4 Примеры матриц переходов

Переходы по завершению обслуживания (интенсивности μ_1, μ_2) в базе $M/H_2/n$ стандартны, поэтому ниже для каждой дисциплины приведены только переходы, возникающие из отрицательных воздействий (интенсивность δ и производные; для катастроф также γ).

RCS (удаление из системы)

При построении матриц B_i к «стандартным» интенсивностям обслуживания добавляются интенсивности отрицательных воздействий. В качестве наглядного примера приведём матрицу B_2 для дисциплины RCS при $n \geq 2$ (уровень $i = 2$, микросостояния $j = 0, 1, 2$ на уровне 2 и $j = 0, 1$ на уровне 1). Тогда

$$B_2 = \begin{pmatrix} 2\mu_1 + \delta & 0 \\ \mu_2 + \delta/2 & \mu_1 + \delta/2 \\ 0 & 2\mu_2 + \delta \end{pmatrix},$$

где, например, элемент $(2, 1) \rightarrow (1, 1)$ равен $\mu_1 + \delta/2$: он складывается из обслуживания фазы 1 и удаления заявки в фазе 1 отрицательным прибытием (равновероятный выбор канала среди двух занятых). Матрица C_i совпадает с базовой (горизонтальные переходы отсутствуют при удалении из системы).

RCS (повторное обслуживание)

При повторном обслуживании отрицательное воздействие не меняет числа заявок в системе, а лишь прерывает обслуживание одной случайной заявки и возвращает её в очередь с рестартом. Это моделируется горизонтальными переходами в матрице C_i : при $i \leq n$ заявок каждое микросостояние j переходит в другие микросостояния j' с интенсивностью, определяемой вероятностью выбора нового распределения фаз после рестарта одного из i каналов. Матрица B_i совпадает с базовой (без дополнительных уходов вниз по уровню).

Пример матрицы C_2 при уровне $i = 2$ (микросостояния $j = 0, 1, 2$ — число заявок в фазе 2): прерывание случайного канала даёт переход $j \rightarrow j + 1$ с интенсивностью $\delta \frac{i-j}{i} y_2$ (рестарт в фазе 2) и $j \rightarrow j - 1$ с интенсивностью $\delta \frac{j}{i} y_1$ (рестарт в фазе 1). Тогда

$$C_2 = \begin{pmatrix} 0 & \delta y_2 & 0 \\ \delta y_1/2 & 0 & \delta y_2/2 \\ 0 & \delta y_1 & 0 \end{pmatrix} \quad (\text{только внедиагональные переходы; диагональ дополняется в } D_i).$$

Катастрофы (очищение системы)

Для катастроф с очищением вводится дополнительное микросостояние D на каждом уровне $i > 0$. Приведём пример матрицы B_1 при $n \geq 1$ (уровень $i = 1$, микросостояния: $D, (1, 0), (1, 1)$; переход в уровень 0):

$$B_1 = (\gamma).$$

Здесь первая строка соответствует состоянию D , из которого система мгновенно переходит в $(0, 0)$ с интенсивностью $\gamma \gg \mu_1, \mu_2, \lambda$. Обычные состояния $(1, 0)$ и $(1, 1)$ уходят в уровень 0 по стандартным интенсивностям μ_1 и μ_2 (не показаны, так как не зависят от катастроф).

Матрица C_1 моделирует горизонтальные переходы из обычных состояний в катастрофическое состояние D :

$$C_1 = \begin{pmatrix} 0 & 0 & 0 \\ \delta & 0 & 0 \\ \delta & 0 & 0 \end{pmatrix},$$

где элементы $(1, 0) \rightarrow D$ и $(1, 1) \rightarrow D$ равны δ (поступление катастрофы мгновенно переводит систему в состояние D).

Катастрофы (повторное обслуживание)

При повторном обслуживании катастрофа не очищает систему, а прерывает все обслуживания и возвращает заявки в очередь с рестартом. Состояние D не вводится; вместо этого используются горизонтальные переходы в матрице C_i между микросостояниями с интенсивностью δ , моделирующие перераспределение фаз всех $m = \min(i, n)$ занятых каналов после катастрофы. Каждый из m каналов независимо выбирает фазу 1 или 2 с вероятностями y_1 и y_2 , поэтому из любого микросостояния (i, j) система переходит в (i, k) с интенсивностью $\delta \cdot \binom{m}{k} y_2^k y_1^{m-k}$ (независимо от j). Матрицы B_i совпадают с базовыми.

Пример матрицы C_2 при уровне $i = 2$ (микросостояния $j = 0, 1, 2; m = 2$):

$$C_2 = \delta \begin{pmatrix} y_1^2 & 2y_1y_2 & y_2^2 \\ y_1^2 & 2y_1y_2 & y_2^2 \\ y_1^2 & 2y_1y_2 & y_2^2 \end{pmatrix}.$$

В общем случае для уровня i при $m = \min(i, n)$ матрица C_i имеет размер $(m+1) \times (m+1)$, и все строки совпадают: $C_i(j, k) = \delta \binom{m}{k} y_2^k y_1^{m-k}$ при $j, k \in \{0, \dots, m\}$. Диагональ уровня в блоке D_i дополняется интенсивностью δ (суммарный выход из микросостояния из-за катастрофы).

РАСЧЁТ ВРЕМЕННЫХ ХАРАКТЕРИСТИК

4.1 Дисциплина RCS

4.1.1 RCS с удалением из системы

Для типичной заявки, находящейся в обслуживании при m занятых каналах, интенсивность удаления аппроксимируется как $r(m) = \delta/m$. При дисциплине «удаление из обслуживания» время в обслуживании:

$$S = \min(B, Y), \quad Y \sim \text{Exp}(r),$$

и ПЛС времени обслуживания $S^*(s) = \frac{r}{s+r} + \frac{s}{s+r}\beta(s+r)$, где $\beta(s) = \mathbb{E}[e^{-sB}]$. Дальнейшие моменты W, V вычисляются через ПЛС и численное дифференцирование в нуле.

4.1.2 RCS с повторным обслуживанием

Если отрицательное событие интерпретируется как прерывание обслуживания с возвратом заявки в очередь (рестарт обслуживания и повторная генерация длительности), расчёт сводится к эффективному времени обслуживания B_{eff} при пуассоновских рестартах. Пусть B имеет ПЛС $\beta(s)$, рестарты

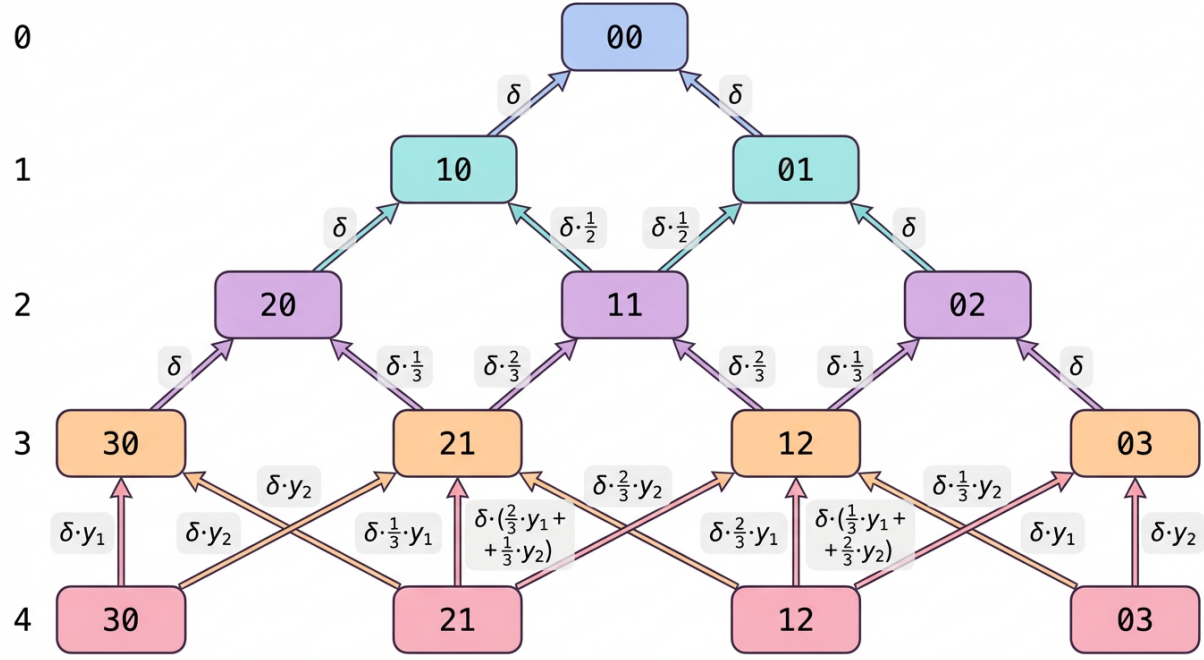


Рис. 1: Переходы, вызванные отрицательными воздействиями, для дисциплины RCS (удаление заявки из обслуживания), $n = 3$, уровни $0, \dots, n$. Для $i > n$ в расчётах используется приближение через μ'_1, μ'_2 (см. текст).

— с интенсивностью r . Для модели «прерывание–повтор» ПЛС времени завершения обслуживания:

$$B_{\text{eff}}^*(s) = \beta(s + r) \cdot \frac{s + r}{s + r \beta(s + r)}.$$

Для RCS типичная заявка при m занятых каналах имеет интенсивность рестарта $r(m) = \delta/m$; в расчёте r оценивается самосогласованно (итерационно), начиная с приближения $r \approx \delta/n$. Система аппроксимируется стандартной $M/G/n$ без отрицательных выходов с распределением B_{eff} ; тогда $V = W + B_{\text{eff}}$, $q = 1$, $V_{\text{served}} \equiv V$, $V_{\text{broken}} \equiv 0$. Моменты W и V вычисляются базовым алгоритмом Такахаси–Таками для $M/G/n$ с распределением B_{eff} .

4.2 Дисциплина катастроф

4.2.1 Катастрофы с очищением

Пусть $Y \sim \text{Exp}(\delta)$ — время до ближайшей катастрофы после прихода типичной заявки. Для согласования с имитационным моделированием вводятся гипотетические величины W_0 и $Z_0 = W_0 + B$, соответствующие динамике, в которой катастрофы *после прихода данной заявки* отключены (но состояние при приходе берётся из стационара исходной системы). Тогда

$$W = \min(W_0, Y), \quad V = \min(Z_0, Y),$$

и для любой независимой пары T и $Y \sim \text{Exp}(\delta)$ справедливо:

$$\mathbb{E}[e^{-s \min(T, Y)}] = \frac{\delta}{s + \delta} + \frac{s}{s + \delta} T^*(s + \delta).$$

Отсюда:

$$W^*(s) = \frac{\delta}{s + \delta} + \frac{s}{s + \delta} W_0^*(s + \delta), \quad V^*(s) = \frac{\delta}{s + \delta} + \frac{s}{s + \delta} Z_0^*(s + \delta).$$

Вероятность успешного обслуживания:

$$p_{\text{served}} = \mathbb{P}(Z_0 < Y) = \mathbb{E}[e^{-\delta Z_0}] = Z_0^*(\delta),$$

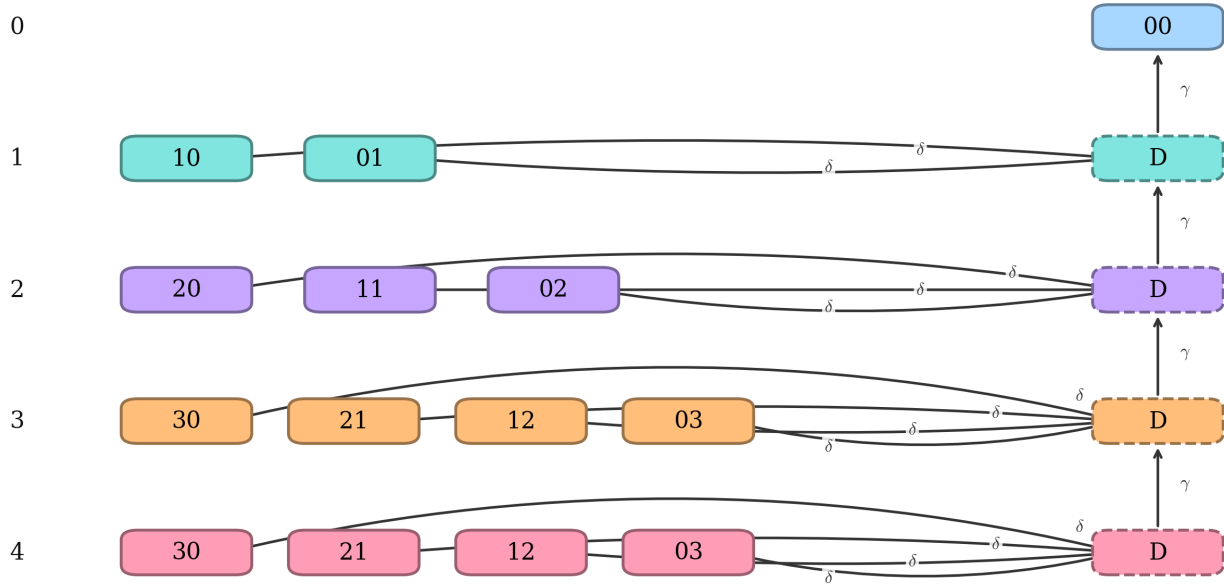


Рис. 2: Переходы, вызванные катастрофическими воздействиями (интенсивности δ и γ), $n = 3$, уровни $0, \dots, n + 1$.

а ПЛС условных распределений:

$$\mathbb{E}[e^{-sV} \mid \text{served}] = \frac{Z_0^*(s + \delta)}{Z_0^*(\delta)}, \quad \mathbb{E}[e^{-sV} \mid \text{broken}] = \frac{\delta}{s + \delta} \cdot \frac{1 - Z_0^*(s + \delta)}{1 - Z_0^*(\delta)}.$$

4.2.2 Катастрофы с повторным обслуживанием

При дисциплине «катастрофа» прерывает обслуживание всех заявок в каналах и возвращает их в очередь с рестартом» прерванных в смысле удалённых заявок нет: $q = 1$, $V_{\text{served}} \equiv V$, $V_{\text{broken}} \equiv 0$. Эффективное время обслуживания B_{eff} при пуассоновских рестартах с интенсивностью δ (каждая катастрофа прерывает любую заявку в канале):

$$B_{\text{eff}}^*(s) = \beta(s + \delta) \cdot \frac{s + \delta}{s + \delta \beta(s + \delta)}.$$

Система в приближении сводится к стандартной $M/G/n$ без отрицательных выходов с распределением B_{eff} ; $V = W + B_{\text{eff}}$, моменты получаются численным дифференцированием ПЛС (с гамма-аппроксимацией $\beta(s)$ по первым двум моментам B).

ЧИСЛЕННЫЕ РЕЗУЛЬТАТЫ И СРАВНЕНИЕ С ИМИТАЦИОННЫМ МОДЕЛИРОВАНИЕМ

5.1 Параметры тестов

В качестве базового примера использовались параметры: $n = 3$, $\lambda_{\text{pos}} = 1.0$, $\delta = 0.3$, $\rho = 0.7$, коэффициент вариации времени обслуживания $CV = 1.2$, размер выборки в имитационном моделировании 1,000,000. Дополнительно, чтобы показать применимость метода при различных коэффициентах вариации времени обслуживания, в таблице 1 приведены численные значения для $CV = 0.8$ и $CV = 1.2$.

5.2 Сравнение численного метода и ИМ по w_1 и v_1

В таблице 1 приведены первые начальные моменты времени ожидания (w_1) и пребывания (v_1) для четырёх сценариев при двух значениях коэффициента вариации времени обслуживания; для каждого значения CV приведено сравнение с имитационным моделированием (ИМ).

| Сценарий | w_1 | | | v_1 | | |
|--|--------|--------|-------|--------|--------|-------|
| | Числ | ИМ | Отн.% | Числ | ИМ | Отн.% |
| <i>Коэффициент вариации $CV = 0,8$</i> | | | | | | |
| RCS (удаление) | 0.4205 | 0.4111 | 2.29 | 2.0952 | 2.0849 | 0.50 |
| RCS (повторное обслуж.) | 1.2067 | 1.1650 | 3.58 | 3.4030 | 3.4062 | -0.10 |
| Катастрофы (очищение) | 0.1964 | 0.1918 | 2.42 | 1.4853 | 1.4829 | 0.16 |
| Катастрофы (повторное обслуж.) | 1.8268 | 1.8513 | -1.32 | 4.1527 | 4.1725 | -0.47 |
| <i>Коэффициент вариации $CV = 1,2$ (базовое значение)</i> | | | | | | |
| RCS (удаление) | 0.3881 | 0.3968 | -2.18 | 1.9127 | 1.9190 | -0.33 |
| RCS (повторное обслуж.) | 1.0627 | 1.0273 | 3.44 | 3.0547 | 3.0674 | -0.41 |
| Катастрофы (очищение) | 0.1613 | 0.1660 | -2.82 | 1.3096 | 1.3160 | -0.49 |
| Катастрофы (повторное обслуж.) | 0.7583 | 0.7781 | -2.55 | 2.6441 | 2.6732 | -1.09 |

Таблица 1: Первые начальные моменты времени ожидания w_1 и пребывания v_1 при фиксированных $n = 3$, $\lambda_{\text{pos}} = 1.0$, $\delta = 0.3$, $\rho = 0.7$ и различных коэффициентах вариации времени обслуживания. Числ — численный расчёт, ИМ — имитационное моделирование, Отн.% — относительная погрешность.

В таблице 2 приведены среднеквадратичные отклонения σ_W и σ_V для тех же сценариев и значений коэффициента вариации.

| Сценарий | σ_W | | | σ_V | | |
|--|------------|--------|-------|------------|-------|-------|
| | Числ | ИМ | Отн.% | Числ | ИМ | Отн.% |
| <i>Коэффициент вариации $CV = 0,8$</i> | | | | | | |
| RCS (удаление) | 0.9477 | 0.9233 | 2.57 | 1.789 | 1.767 | 1.23 |
| RCS (повторное обслуж.) | 1.976 | 1.984 | 0.42 | 2.743 | 2.782 | 1.41 |
| Катастрофы (очищение) | 0.5639 | 0.5603 | 0.65 | 1.305 | 1.302 | 0.19 |
| Катастрофы (повторное обслуж.) | 2.448 | 2.412 | 1.50 | 3.185 | 3.149 | 1.11 |
| <i>Коэффициент вариации $CV = 1,2$ (базовое значение)</i> | | | | | | |
| RCS (удаление) | 1.003 | 1.008 | 0.50 | 2.053 | 2.05 | 0.14 |
| RCS (повторное обслуж.) | 2.033 | 2.017 | 0.81 | 3.074 | 3.074 | 0.01 |
| Катастрофы (очищение) | 0.5621 | 0.5743 | 2.17 | 1.418 | 1.422 | 0.25 |
| Катастрофы (повторное обслуж.) | 1.643 | 1.636 | 0.40 | 2.702 | 2.697 | 0.18 |

Таблица 2: Среднеквадратичные отклонения σ_W и σ_V при фиксированных $n = 3$, $\lambda_{\text{pos}} = 1.0$, $\delta = 0.3$, $\rho = 0.7$ и различных коэффициентах вариации времени обслуживания.

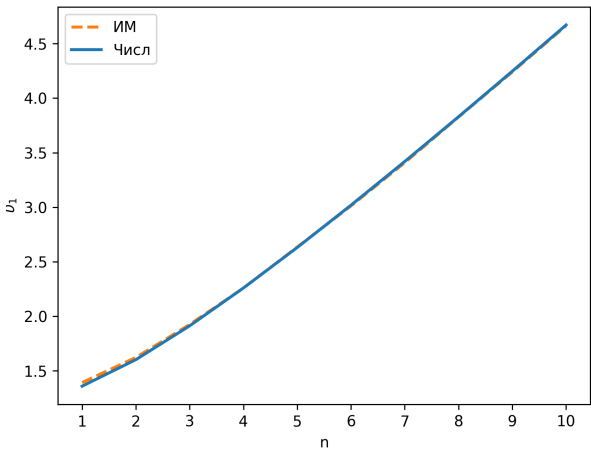
Заметны две устойчивые закономерности. Во-первых, сценарии с *удалением* (RCS) и *очищением* (катастрофы) дают наименьшие значения w_1 и v_1 : отрицательные воздействия в этих постановках уменьшают «эффективную загрузку» системы за счёт преждевременного завершения обслуживания и/или мгновенногоброса заявок. Во-вторых, при *повторном обслуживании* (рестартах) значения w_1 и v_1 выше при малом CV , так как рестарт приводит к потере уже выполненной части обслуживания. При этом с ростом CV значения w_1 и v_1 снижаются во всех четырёх сценариях: в модели с пуассоновскими прерываниями характеристики определяются Лапласовым образом $\beta(\cdot)$ распределения обслуживания (в частности, через $\beta(\delta/n)$ и/или $\beta(s + \delta)$), и при увеличении вариативности

гамма-распределения возрастает вероятность «быстрых» реализаций обслуживания после рестарта, что уменьшает *эффективное* время обслуживания и, следовательно, снижает средние времена ожидания и пребывания.

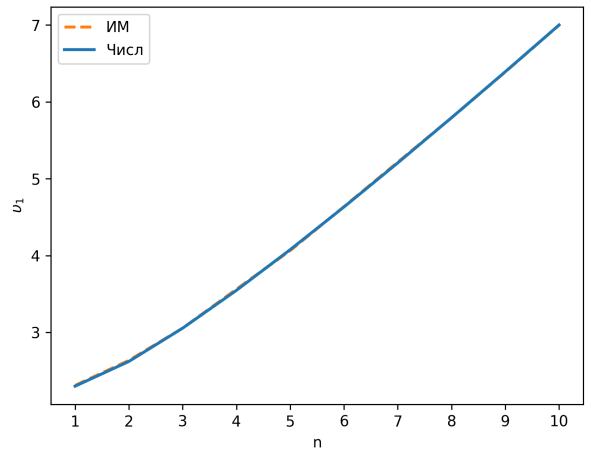
Согласование численного метода с имитационным моделированием в таблицах 1–2 в целом хорошее. В таблице 1 относительная погрешность для v_1 , как правило, не превышает 1–2%, а для w_1 — нескольких процентов (в приведённых тестах максимум порядка 3,6%). Для среднеквадратичных отклонений (таблица 2) погрешности также остаются на уровне нескольких процентов. Наибольшая чувствительность наблюдается для w_1 и σ_w при больших CV , что связано с влиянием хвостов распределений и приближениями, используемыми в расчёте (в частности, аппроксимацией интенсивностей рестартов/удалений и моментной аппроксимацией распределений).

5.3 Графики параметрических зависимостей

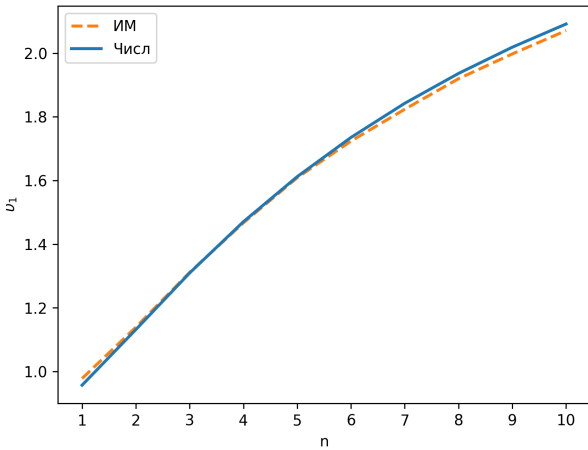
На рисунке 3 приведены зависимости первого начального момента времени пребывания v_1 от числа каналов n для четырёх сценариев. Видно, что увеличение числа каналов приводит к росту v_1 при фиксированной загрузке ρ (при задании среднего времени обслуживания $\mathbb{E}[B] = n\rho/\lambda$). Влияние коэффициента вариации времени обслуживания показано в таблице 1.



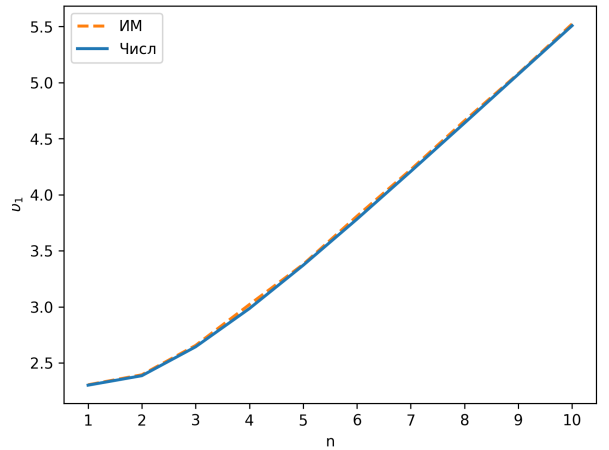
(a) RCS (удаление)



(b) RCS (повторное обслуж.)



(c) Катастрофы (очищение)



(d) Катастрофы (повторное обслуж.)

Рис. 3: Зависимость v_1 от числа каналов n для четырёх дисциплин обслуживания отрицательных заявок (пунктир — ИМ, сплошная — численный расчёт).

ЗАКЛЮЧЕНИЕ

Предложено расширение метода Такахаси–Таками для расчёта многоканальных систем с отрицательными заявками. Показано, как модифицировать матрицы переходов для дисциплин RCS и катастроф, сохраняя структуру итерационного алгоритма. Временные характеристики получают через ПЛС и численное дифференцирование; для катастроф корректный расчёт времени пребывания использует операцию минимума с экспоненциальным временем до ближайшей катастрофы после прихода.

Численные эксперименты показывают хорошее согласование с имитационным моделированием по вероятностям состояний и по временным характеристикам (первые моменты и среднеквадратичные отклонения), а вычислительное время существенно меньше по сравнению с прямым имитационным моделированием. Это делает метод пригодным для параметрического анализа и оптимизации. Реализация доступна в [16].

СПИСОК ЛИТЕРАТУРЫ

- [1] Y. Takahashi и Y. Takami. «A Numerical Method for the Steady-State Probabilities of a GI/G/c Queueing System in a General Class». B: *Journal of the Operations Research Society of Japan* 19.2 (1976), c. 147–157.
- [2] Ю. И. Рыжиков. *Численные методы теории очередей*. Санкт-Петербург: Лань, 2018.
- [3] Erol Gelenbe. «Product-form queueing networks with negative and positive customers». B: *Journal of Applied Probability* 28.3 (1991), c. 656–663.
- [4] Erol Gelenbe и Rudolf Schassberger. «Stability of product form queueing networks with negative customers». B: *Journal of Applied Probability* 29.4 (1992), c. 890–901.
- [5] J. R. Artalejo. «G-networks: A versatile approach for work removal in queueing networks». B: *European Journal of Operational Research* 126.2 (2000), c. 233–249.
- [6] Peter G. Harrison и E. Pitel. «The M/G/1 queue with negative customers». B: *Advances in Applied Probability* 28.2 (1996), c. 540–566.
- [7] N. Bayer и O. J. Boxma. «Wiener–Hopf analysis of an M/G/1 queue with negative customers and of a related class of random walks». B: *Queueing Systems* 23.1-4 (1996), c. 301–316.
- [8] Richard J. Boucherie и Onno J. Boxma. «The Workload in the M/G/1 Queue with Work Removal». B: *Probability in the Engineering and Informational Sciences* 10.2 (1996), c. 261–277.
- [9] Gautam Jain и Karl Sigman. «A Pollaczek–Khintchine formula for M/G/1 queues with disasters». B: *Journal of Applied Probability* 33.4 (1996), c. 1191–1200.
- [10] Alexander Dudin и S. Nishimura. «A BMAP/SM/1 queueing system with Markovian arrival input of disasters». B: *Journal of Applied Probability* 36.3 (1999), c. 868–881.
- [11] Q.-L. Li и C. Lin. «The M/G/1 processor-sharing queue with disasters». B: *Computers & Mathematics with Applications* 51.6-7 (2006), c. 987–998.
- [12] Ignacio Atencia и Pedro Moreno. «The discrete-time Geo/Geo/1 queue with negative customers and disasters». B: *Computers & Operations Research* 31.9 (2004), c. 1537–1550.
- [13] J. R. Artalejo и A. Gómez-Corral. «On a single server queue with negative arrivals and request repeated». B: *Journal of Applied Probability* 35.3 (1998), c. 907–918.
- [14] J. Wang, B. Liu и J. Li. «Transient analysis of an M/G/1 retrial queue subject to disasters and server failures». B: *European Journal of Operational Research* 189.3 (2008), c. 1338–1353.

- [15] S. Dharmaraja и R. Kumar. «Transient solution of a Markovian queueing model with heterogeneous servers and catastrophes». В: *Opsearch* 52.4 (2015), с. 810—824.
- [16] Р. С. Хабаров и В. А. Лохвицкий. *Most-Queue: Библиотека методов расчёта СМО с отрицательными заявками*. https://github.com/xabarov/most-queue/tree/main/works/negative_queues. Дата обращения: 14.02.2026. 2026.